

ОПТИКА И СПЕКТРОСКОПИЯ. ЛАЗЕРНАЯ ФИЗИКА

ВУФ-спектроскопия кристаллов $\text{Na}_{0.4}\text{Lu}_{0.6}\text{F}_{2.2}$, активированных ионом Ce^{3+} Г. М. Шапочкин^{1a}, В. В. Михайлин¹, С. П. Чернов², Д. Н. Каримов³

Московский государственный университет имени М. В. Ломоносова, физический факультет, ¹кафедра оптики и спектроскопии; ²кафедра квантовой электроники. Россия, 119991, Москва, Ленинские горы, д. 1, стр. 2. ³Институт кристаллографии имени А. В. Шубникова РАН. 119333, Москва, Ленинский пр-т, д. 59.
E-mail: ^ashapgrim@yandex.ru

Исследован коротковолновый спектр пропускания $\text{Na}_{0.4}\text{Lu}_{0.6}\text{F}_{2.2}$, для которого граница ВУФ пропускания составляет 8 эВ. Для кристаллов $\text{Na}_{0.4}\text{Lu}_{0.6}\text{F}_{2.2}:\text{Ce}^{3+}$ изучены спектры поглощения $4f - 5d$ -переходов иона Ce^{3+} в области 4–8 эВ. При комнатной и гелиевых температурах исследованы спектры люминесценции в УФ и видимой областях спектра, а также кинетика затухания свечения, спектры отражения и возбуждения люминесценции в ВУФ и УФ областях (4–20 эВ).

PACS: 78.40.-q, 78.47.+p, 78.60.-b, 42.70.Hj.

Ключевые слова: 5d – 4f -люминесценция, трехвалентный ион серия, фторидные кристаллы.

Статья поступила 11.06.2008, подписана в печать 24.09.2008.

Введение

Кристаллы $\text{Na}_{0.4}\text{Lu}_{0.6}\text{F}_{2.2}$ представляют интерес в качестве перспективных люминесцентных материалов с точки зрения их возможного применения в качестве активных сред твердотельных лазеров [1]. Помимо этого широкозонные фторидные матрицы могут быть использованы в качестве сцинтилляторов, так как активирование ионами Ce^{3+} обеспечивает эффективную и быструю люминесценцию.

Техника и методика эксперимента

Эксперименты выполнены на образцах, полученных в институте кристаллографии им. А. В. Шубникова РАН. Монокристаллы чистой матрицы $\text{Na}_{0.4}\text{Lu}_{0.6}\text{F}_{2.2}$ и с примесями Ce^{3+} $\text{Na}_{0.4}\text{Lu}_{0.6}\text{F}_{2.2}:\text{Ce}^{3+}$ ($C_{\text{Ce}^{3+}} = 0.5, 2, 5, 20$ мол.%) выращивали по методу Бриджмена в графитовом тепловом узле, в активной фторирующей атмосфере. Данные кристаллы представляют собой хаотичный твердый раствор кубической симметрии ($f\ m\bar{3}m$) со структурой флюорита, в котором катионы с разными зарядами ($\text{Lu}^{3+}, \text{Ce}^{3+}$) занимают одинаковые позиции в узлах кристаллической решетки. Неоднородность структуры твердого раствора может приводить к уширению экспериментальных линий. В качестве исходных реагентов использовались высокочистые порошки NaF , LuF_3 , которые предварительно прокаливались в вакууме ($\sim 10^{-2}$ Па) и проплавлялись во фторирующей атмосфере для глубокой очистки от кислородсодержащих примесей. В качестве контейнеров для синтеза применялись многоячеистые графитовые тигли. Использовали следующие ростовые параметры: температурный градиент в зоне роста ~ 80 К/см, скорость опускания тигля 3–10 мм/ч, скорость охлаждения кристаллов 200 К/ч. По разработанной методике, описанной в [2], были получены кристаллы оптического качества диаметром 6–12 мм и длиной 30–85 мм, не имеющие ячеистой субструктуры и не содержащие включений, рассеивающих свет. В настоящей работе были изучены кристаллы $\text{Na}_{0.4}\text{Lu}_{0.6}\text{F}_{2.2}$ с концентрацией церия $C_{\text{Ce}^{3+}} = 0.05, 2, 5$ и 20 мол.%. Плотность ионов Lu^{3+} в кристалле

$\text{Na}_{0.4}\text{Lu}_{0.6}\text{F}_{2.2}$ составляет $1.45 \cdot 10^{22}$ см $^{-3}$. Измерения спектров пропускания проводились на образцах, имеющих плоскопараллельную шлифованную поверхность, толщиной 0.5 ± 1 мм и диаметром 10 мм. Измерения спектров люминесценции, возбуждения люминесценции, кинетик затухания и отражения проводились как от полированной поверхности, так и от поверхности скола криволинейной формы. Кристаллографические оси кристаллов не были специально ориентированы к вектору поляризации синхротронного излучения.

Эксперименты по измерению спектров отражения, возбуждения люминесценции, свечения и кинетики затухания свечения кристаллов $\text{Na}_{0.4}\text{Lu}_{0.6}\text{F}_{2.2}$, $\text{Na}_{0.4}\text{Lu}_{0.6}\text{F}_{2.2}:\text{Ce}^{3+}$ ($C_{\text{Ce}^{3+}} = 2, 5, 20$ мол.%) были проведены на установке SUPERLUMI (HASYLAB, Hamburg, Germany) [3]. Исследуемые образцы облучались импульсами синхротронного излучения накопителя DORIS в диапазоне 60–320 нм, при температурах 10 и 300К. Спектральное разрешение первичного монохроматора менее 0.4 нм. Спектры люминесценции в УФ и видимом диапазонах спектра регистрировались с помощью вторичного монохроматора-спектрографа SpectraPro-308 (Acton research Corporation) оптической схемы Czerny-Turner, оборудованного CCD детектором (Princeton Instruments, Inc.), охлаждаемым жидким азотом. Спектральное разрешение регистрирующего монохроматора с решеткой 300 шт./мм порядка 1 нм. Спектры люминесценции не были отнормированы на спектральную чувствительность регистрирующей системы. Спектры возбуждения и кинетики затухания люминесценции регистрировались с помощью ФЭУ Hamamatsu R6358P.

Спектры пропускания кристаллов $\text{Na}_{0.4}\text{Lu}_{0.6}\text{F}_{2.2}$, $\text{Na}_{0.4}\text{Lu}_{0.6}\text{F}_{2.2}:\text{Ce}^{3+}$ ($C_{\text{Ce}^{3+}} = 0.05, 2, 5, 20$ мол.%) в области 120–300 нм были измерены с помощью вакуумного монохроматора BMP-2 (обратная линейная дисперсия 1.66 нм/мм) с решеткой 600 шт./мм при комнатной температуре. В качестве источника излучения использовалась водородная лампа лабораторного изготовления с окном из MgF_2 . Исследуемые образцы представляли собой плоскопараллельные пластины с полированными поверхностями толщиной 0.5 ± 1 мм, вырезанные из центральной по длине части монокристаллов $\text{Na}_{0.4}\text{Lu}_{0.6}\text{F}_{2.2}$.

Экспериментальные результаты и обсуждение

Спектр поглощения $\text{Na}_{0.4}\text{Lu}_{0.6}\text{F}_{2.2}:\text{Ce}^{3+}$ ($C_{\text{Ce}^{3+}} = 0.05$ мол.%) представлен на рис. 1. Наблюдается вся $5d$ -конфигурация иона Ce^{3+} . По сравнению со свободным ионом Ce^{3+} [4] положение первого максимума $5d$ -конфигурации в матрице $\text{Na}_{0.4}\text{Lu}_{0.6}\text{F}_{2.2}$ понижено на 14700 см^{-1} .

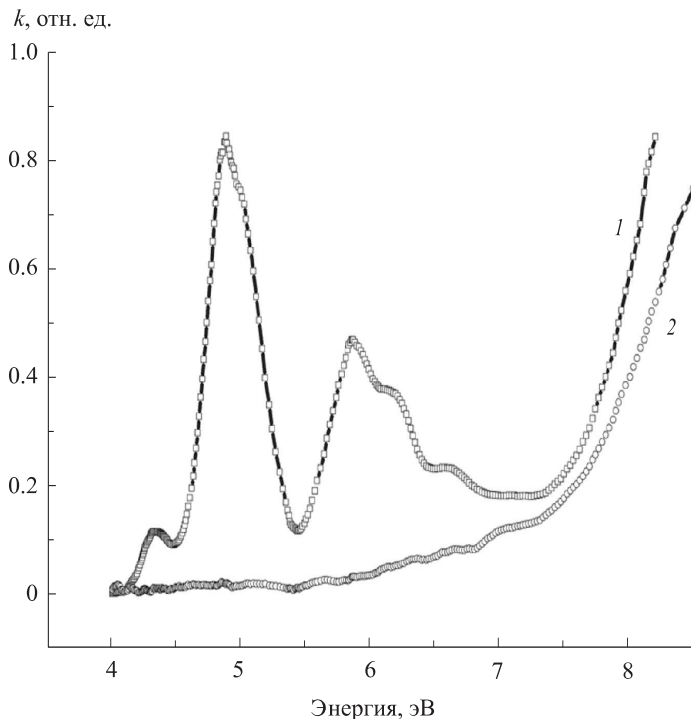


Рис. 1. Спектр поглощения $\text{Na}_{0.4}\text{Lu}_{0.6}\text{F}_{2.2}:\text{Ce}^{3+}$ ($C_{\text{Ce}^{3+}} = 0.05$ мол.%) (кривая 1) и матрицы $\text{Na}_{0.4}\text{Lu}_{0.6}\text{F}_{2.2}$ (кривая 2) в УФ и ВУФ областях спектра

Для экспериментально наблюдаемых $4f - 5d$ -полос были рассчитаны силы осцилляторов переходов по формуле

$$f = \frac{mc^2}{\pi e^2 \rho \bar{\lambda}^2} \frac{9n}{(n^2 + 2)^2} \int k(\lambda) d\lambda,$$

где m — масса электрона, e — заряд электрона, c — скорость света в вакууме, n — показатель преломления, $\bar{\lambda}$ — средняя длина волны перехода, ρ — концентрация Ce^{3+} . Значения сил осцилляторов приведены в таблице. Интегрирование проводилось по всей полосе поглощения.

Положения максимумов $4f - 5d$ -полос поглощения ν_{\max} и значения сил осцилляторов переходов для иона редкоземельного элемента (РЗЭ) Ce^{3+} в матрице $\text{Na}_{0.4}\text{Lu}_{0.6}\text{F}_{2.2}$ ($C_{\text{Ce}^{3+}} = 0.05$ мол.%)

РЗЭ	$\text{Na}_{0.4}\text{Lu}_{0.6}\text{F}_{2.2}$	
	$\nu_{\max}, \text{ см}^{-1}$	$f \times 10^{-2}$
Ce^{3+}	35 000	0.064
	39 525	0.874
	47 260	
	50 000	0.760
	53 190	

На рис. 2 представлен спектр возбуждения люминесценции линии 330 нм и отражения $\text{Na}_{0.4}\text{Lu}_{0.6}\text{F}_{2.2}:\text{Ce}^{3+}$

($C_{\text{Ce}^{3+}} = 2$ мол.%), измеренный при гелиевой температуре в диапазоне 4–18 эВ от плоскопараллельной полированной поверхности образца.

Увеличение коэффициента отражения в области 8 эВ соответствует концу зоны прозрачности кристалла и началу зоны фундаментального поглощения. Первый интенсивный пик отражения расположен при 10.8 эВ. Он имеет дублетную структуру с малоинтенсивным пиком на 10.3 эВ, которому соответствуют провалы в спектрах возбуждения. Данная структура прослеживается на всех спектрах отражения и возбуждения люминесценции. Провал в спектрах возбуждения на 10.3 эВ смещается в низкоэнергетическую область при повышении температуры, о чем свидетельствуют измерения, проведенные при комнатной и гелиевой температурах для всех образцов. Можно предположить, что пик 10.3 эВ является экситонным. В работе [6] показано, что начало поглощения ионов Lu^{3+} начинается с энергий превышающих 10.1 эВ (81000 см^{-1}), а не с 8 эВ (64000 см^{-1}), как предполагалось в [7]. В нашем случае разрешить тонкую структуру в спектрах возбуждения $4f - 5d$ -люминесценции Ce^{3+} в области $4f^{14} \rightarrow 4f^{13}5d$ -поглощения ионов Lu^{3+} (10–11 эВ) не удалось. Начало поглощения матрицы может быть вызвано как межконфигурационными $4f^{14} \rightarrow 4f^{13}5d$ -переходами ионов Lu^{3+} , так и созданием $F - 2p$ -экситона. По данным оптических измерений, которые показали, что граница прозрачности кристалла $\text{Na}_{0.4}\text{Lu}_{0.6}\text{F}_{2.2}$ составляет 130 нм и то, что в спектре отражения наблюдается резкий рост после экситонного пика, есть возможность оценить ширину запрещенной зоны E_g соединения $\text{Na}_{0.4}\text{Lu}_{0.6}\text{F}_{2.2}:\text{Ce}^{3+}$ в 10.5 эВ (84700 см^{-1}). Пик медленной компоненты спектра возбуждения в районе 8.3 эВ может проявляться из-за наличия дефектов в кристалле, в частности это может быть связано с наличием кислорода.

Спектры люминесценции кристаллов имеют гауссову форму. Собственное свечение $\text{Na}_{0.4}\text{Lu}_{0.6}\text{F}_{2.2}$ медленное, длительность более 1 мкс. При гелиевой температуре наблюдается широкополосное слабое свечение с максимумами в области 3.7 и 4.1 эВ, с повышением температуры до комнатной, происходит ослабление выхода люминесценции более чем на порядок.

Люминесценция исследуемой серии $\text{Na}_{0.4}\text{Lu}_{0.6}\text{F}_{2.2}:\text{Ce}^{3+}$ ($C_{\text{Ce}^{3+}} = 2, 5, 20$ мол.%) при 300 К представлена на рис. 3. На графике видны широкие полосы свечения Ce^{3+} на 315 и 330 нм, природой которых являются переходы с нижних $5d$ -уровней в ионах Ce^{3+} на расщепленные спин-орбитальным взаимодействием $2^2F_{5/2}$ и $2^2F_{7/2}$ уровни основной конфигурации. Разность энергий между линиями 315 и 330 нм соответствует величине спин-орбитального расщепления (порядка 2000 см^{-1}) основного $2^2F_{5/2,7/2}$ -состояния иона Ce^{3+} . С повышением концентрации Ce^{3+} от 2 до 5% происходит возрастание выхода люминесценции длинноволновой компоненты и перераспределение интенсивности между линиями дублета в пользу длинноволновой компоненты. При повышении концентрации Ce^{3+} от 5 до 20% происходит общий спад выхода люминесценции с доминированием длинноволновой компоненты, при этом происходит общее смещение максимумов в длинноволновую область спектра. У $\text{Na}_{0.4}\text{Lu}_{0.6}\text{F}_{2.2}:\text{Ce}^{3+}$ ($C_{\text{Ce}^{3+}} = 20$ мол.%) наблюдается концентрационное тушение с практически полным исчезновением коротковолновой компоненты дублета.

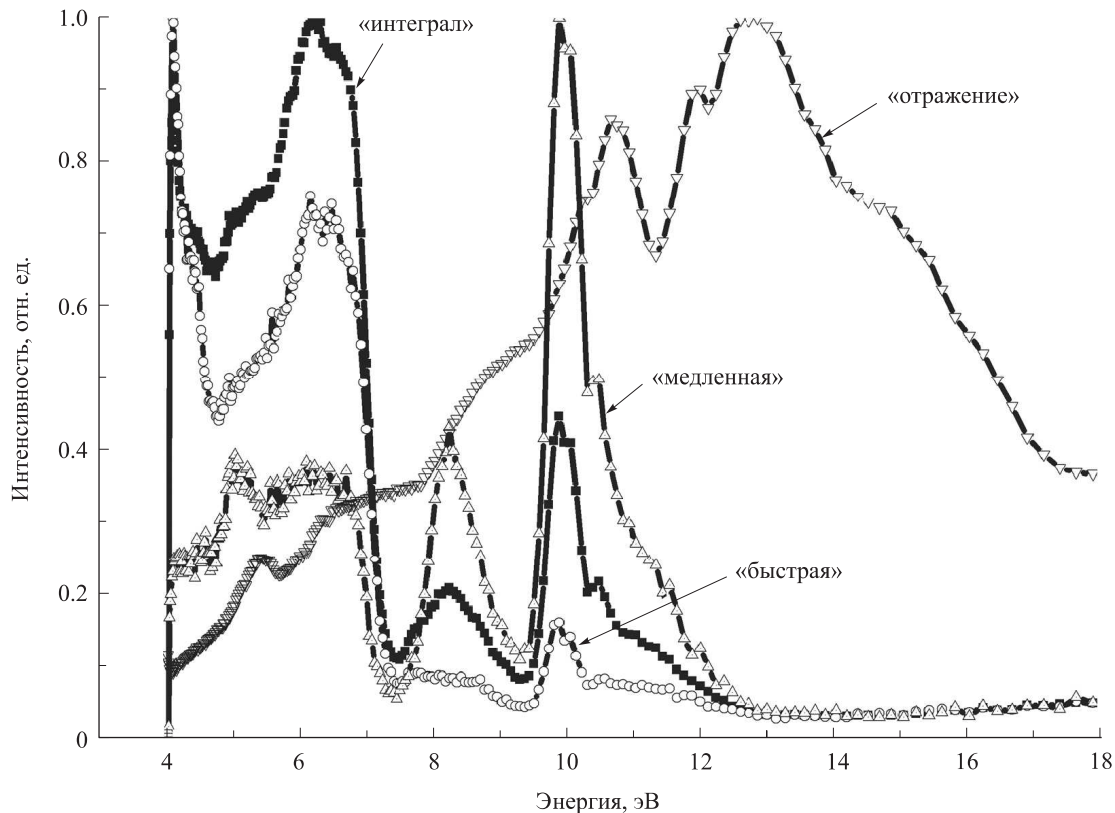


Рис. 2. Спектры возбуждения и отражения с временным разрешением $4f-5d$ -люминесценции иона Ce^{3+} в кристалле $\text{Na}_0.4\text{Lu}_{0.6}\text{F}_{2.2}:\text{Ce}^{3+}$ ($C_{\text{Ce}^{3+}} = 2$ мол.%) при $T = 10$ К. Ширина временных ворот и задержка относительно возбуждающего импульса синхротронного излучения составляли 10 и 2 нс для регистрации «быстрой» компоненты и 40 и 130 нс для регистрации «медленной» компоненты

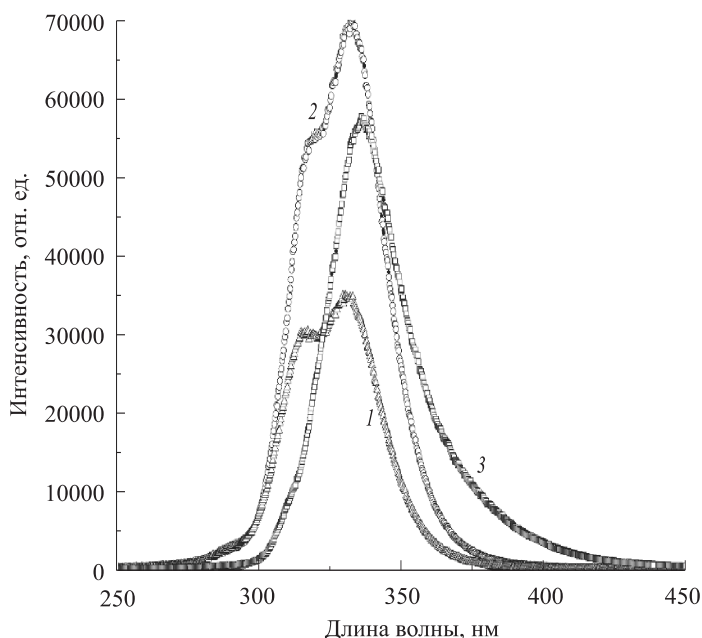


Рис. 3. Спектры свечения для $\text{Na}_0.4\text{Lu}_{0.6}\text{F}_{2.2}:\text{Ce}^{3+}$ ($C_{\text{Ce}^{3+}} = 2$ мол.% — кривая 1, 5 мол.% — кривая 2, 20 мол.% — кривая 3), $h\nu_{\text{ex}} = 6.7$ эВ, $T = 300$ К

При понижении температуры от комнатной до гелиевой в спектрах свечения также происходит перераспределение интенсивности свечения между полосами дублета с преобладанием длинноволновой компоненты 330 нм. При 10 К $\text{Na}_0.4\text{Lu}_{0.6}\text{F}_{2.2}:\text{Ce}^{3+}$ ($C_{\text{Ce}^{3+}} = 20$ мол.%)

светит более интенсивно, чем образцы с концентрацией Ce^{3+} 2 и 5 мол.%. Положения максимумов $4f-5d$ -полос поглощения ν_{max} и значения сил осцилляторов переходов для Ce^{3+} приведены в таблице.

Кинетика затухания $4f-5d$ -переходов иона Ce^{3+} представлена на рис. 4. Кинетика имеет экспоненциальную форму, и время затухания $4f-5d$ -люминесценции составляет примерно 25 нс. Поведение кинетики при $h\nu_{\text{ex}} = 4.1$ эВ говорит о прямом возбуждении центров Ce^{3+} в области до 6 эВ. При энергиях выше 7 эВ возбуждение центров Ce^{3+} начинает происходить через собственные дефекты матрицы, которые передают возбуждение на Ce^{3+} , о чем свидетельствует вид кинетики при $h\nu_{\text{ex}} = 6.9$ эВ с разгоранием.

Дальнейшее увеличение энергии возбуждения и вид кинетики при энергиях $h\nu_{\text{ex}} = 8.3$ и $h\nu_{\text{ex}} = 9.9$ эВ указывают, что передача энергии на Ce^{3+} через кристаллическую матрицу крайне неэффективна.

Выводы

В работе исследованы спектральные характеристики в коротковолновой области спектра кристаллов $\text{Na}_0.4\text{Lu}_{0.6}\text{F}_{2.2}$ с концентрацией церия $C_{\text{Ce}^{3+}} = 0.05$, 2, 5 и 20 мол.%. Кристаллы $\text{Na}_0.4\text{Lu}_{0.6}\text{F}_{2.2}:\text{Ce}^{3+}$ можно считать перспективными материалами для применения в оптике УФ и ВУФ диапазонов спектра. Данные кристаллы могут быть использованы при изготовлении фильтров, окон, люминофоров с редкоземельными активаторами, активных сред лазеров в коротковолновом диапазоне спектра.

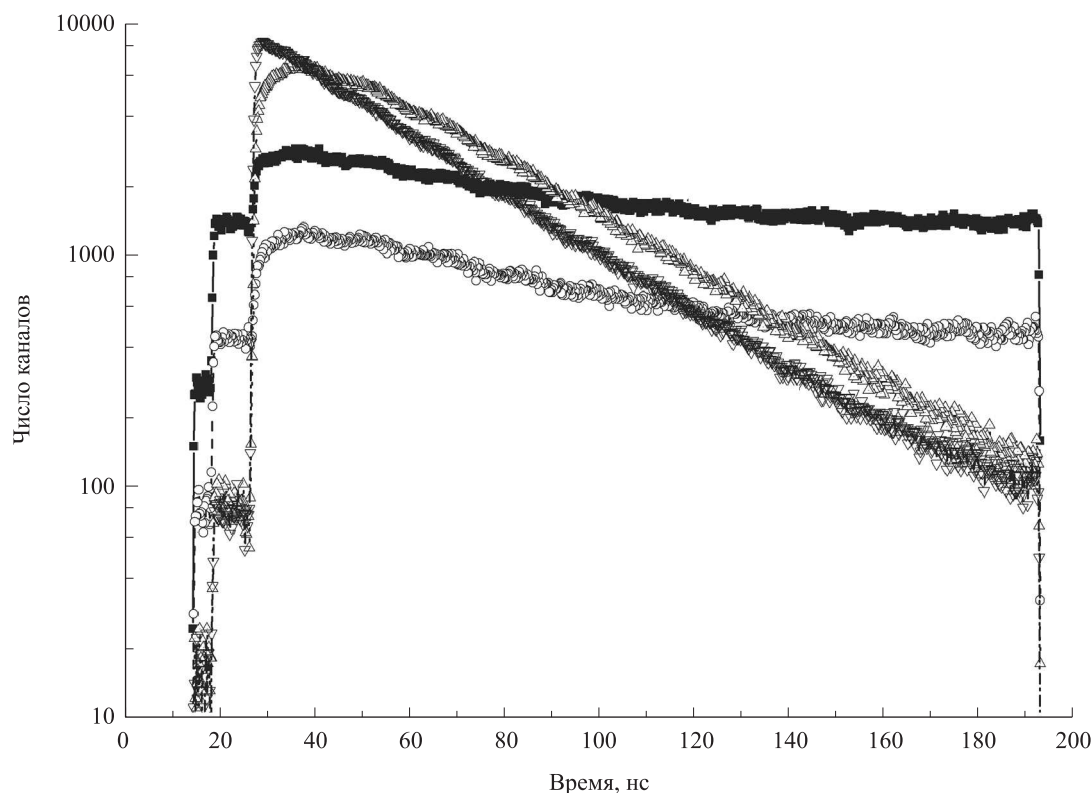


Рис. 4. Спектры затухания $4f-5d$ свечения Ce^{3+} в $\text{Na}_{0.4}\text{Lu}_{0.6}\text{F}_{2.2}:\text{Ce}^{3+}$ ($C_{\text{Ce}^{3+}} = 2$ мол.%), $\lambda_{\text{em}} = 335$ нм, $T = 10$ К при $h\nu_{\text{ex}}$: ∇ 4.1 эВ, Δ 6.9 эВ, \circ 8.3 эВ и \blacksquare 9.9 эВ

Авторы выражают благодарность проф. Г. Циммереру (Институт экспериментальной физики Гамбургского университета) за предоставленную возможность проводить эксперименты.

Работа выполнена при финансовой поддержке DFG (Deutsche Forschungsgemeinschaft) (грант 436 RUS 113/437).

Список литературы

1. Ehrlich D.J., Moulton P.F., Osgood R.M. Jr. // Opt. Lett. 1979. **4**. P. 184.
2. Blistanov A.A., Chernov S.P., Karimov D.N., Ouvarova T.V. // J. Cryst. Growth. 2002. **237-239**. P. 899.
3. Zimmerer G. // Nucl. Instr. and Meth. A. 1991. **308**. P. 178.
4. Lang R.L. // Can. J. Res. A. 1936. **14**. P. 127.
5. Свиридов Д.Т., Смирнов Ю.Ф. Теория спектров ионов переходных металлов. М., 2002.
6. Kirikova N.Yu., Kirm M., Krupa J.C. et al. // J. Luminescence. 2004. **110**, N 3. P. 135.
7. Pedrini C., Kamenskikh I.A., Kirm M. et al. // Radiation Effects and Defects in Solids. 1999. **150**. P. 41.

VUV spectroscopy of Ce^{3+} doped $\text{Na}_{0.4}\text{Lu}_{0.6}\text{F}_{2.2}$ crystals

G. M. Shapochkin^{1a}, V. V. Mikhailin¹, D. N. Karimov², S. P. Chernov³

¹Department of Optics and Spectroscopy; ²Department of Quantum Electronics, Faculty of Physics, M. V. Lomonosov Moscow State University, Moscow 119991, Russia. ³A. V. Shubnikov Institute of Crystallography, Leninskii prospekt 59, Moscow 119333, Russia.

E-mail: ^ashapgrim@yandex.ru.

Spectroscopic properties of broadband fluoride crystals $\text{Na}_{0.4}\text{Lu}_{0.6}\text{F}_{2.2}$ doped with Ce^{3+} were investigated. The absorption edge for the matrix was found to be about 9.5 eV. In the 4–8 eV region of absorption spectra of $\text{Na}_{0.4}\text{Lu}_{0.6}\text{F}_{2.2}:\text{Ce}^{3+}$ are present all $4f \rightarrow 5d$ transitions of Ce^{3+} ion. For $\text{Na}_{0.4}\text{Lu}_{0.6}\text{F}_{2.2}:\text{Ce}^{3+}$ crystals UV/visible emission, reflection, and time-resolved VUV/UV excitation spectra were recorded at liquid helium and room temperatures.

PACS: 78.40.-q, 78.47.+p, 78.60.-b, 42.70.Hj.

Keywords: 5d–4f luminescence, trivalent cerium, fluoride crystals.

Received 11 June 2008.

English version: *Moscow University Physics Bulletin* 2(2009).

Сведения об авторах

1. Шапочкин Григорий Михайлович — аспирант; тел.: 939-31-69, e-mail: shapgrim@yandex.ru.
2. Михайлин Виталий Васильевич — д. ф.-м. н., профессор, зав. кафедрой; тел.: 939-31-69, e-mail: mikh@opts.msu.ru.
3. Чернов Сергей Петрович — к. ф.-м. н., ст. научн. сотр.; тел.: 939-31-69.
4. Каримов Денис Нуриманович — к. ф.-м. н., ст. научн. сотр.; тел.: 330-78-74, e-mail: karimov_d@rambler.ru.